

大阪市立大学工学部 正員 三瀬 貞
広島工業大学 正員 ○鈴木健夫

1. 概要

注入薬液には種々の種類があり、その粘性、浸透性、ゲルタイム、土との固結性、固結後の耐久性、取扱性、經濟性などによりそれぞれの特色を有する薬液が現場において選択され用いられている。これららの薬液の選択は現場担当者が施工目的、現場条件、薬液の性質かどが經濟性などを調査検討の上で決定しているが、この選択の基準は上記要素のハザードを重視するかにより異なってくるので一義的な決定は困難であり、多くの場合試験施工を行ひて決めてある状況である。

そこで本試験においては、比較的多量に用いられている薬液を8種類選択し、普通の工法で充分な注入孔配置、理想的な配合、充分な注入量、入念な施工、常用の深度といった条件で試験施工を行なった。

2. 試験方法

大阪市内の地下鉄建設現場の図-1の地盤に有効注入径をΦ50cmおよびΦ90cmに決めて各3本づつを図-2のように配置して-4m~-13m(一部10m)の深度の注入を行ない、その効果を測定して比較検討することとした。この方法によれば、各薬液の粘性、充填率、ゲルタイムかどが固結性などのそれぞれの特徴を十分に發揮した使用状態を各薬液メーカーが選定し、施工も各メーカー立会の下にならべく良好な状態で行なうので、地盤中にはそれぞれの薬液の性態を十分に發揮した固結物が完成されたと思われる。注入はL.W.、エリロック、エスロックの順で行ない、次の施工に移る時に現場の都合により時期が延び、200m位南の二次注入の位置で施工した。最初の3薬液の固結範囲がよく観測できなかったので、データ補充の意味で3薬液について1本づつの注入を行なった。

3. 効果の測定

注入終了後、地盤の支持力増加を標準貫入試験により測定した結果は図-3であり、止水効果を測定するため上部にハッカーを用いて透水試験を行なったのが表-1である。現場透水試験を補うために室内において供試体を作り透水試験を行なったのが表-2である。現場の掘削の進行につれて、各深度の固結状況を観察し、そ

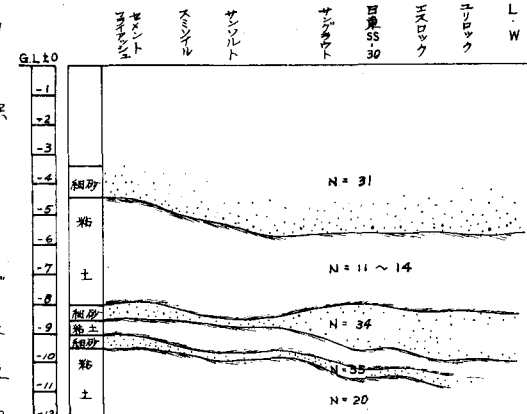


図-1. 二次薬液注入区間の土質断面図

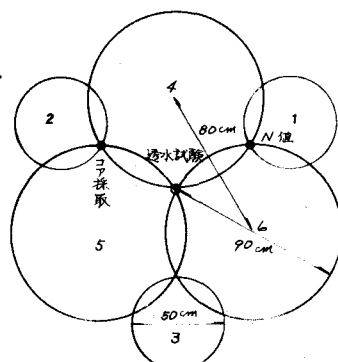


図-2. 注入管配置図

の強度を測定した。現場の強度はドライブヒンによる貫入量で測定した。各薬液の各深度における固結範囲(観測可能な位置)を測定し、立体的

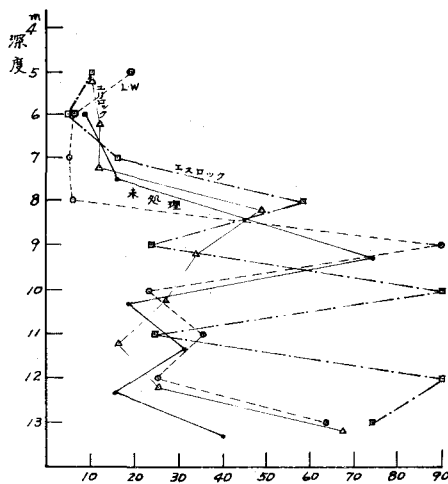


図-3.a. N値比較図

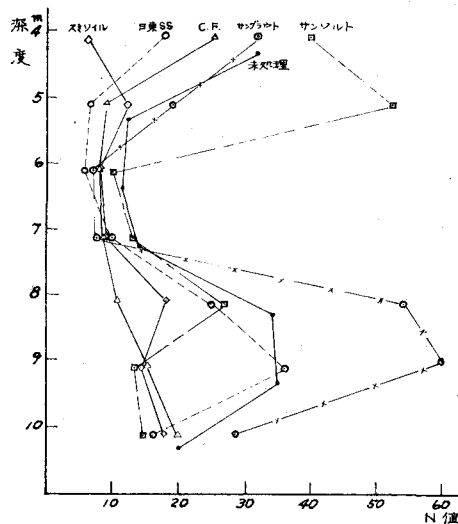


図-3.b. N値比較図

が固結土量として計算すると表-3のようになる。

4. 結論

地盤の不均質、施工機械の不調などにより所期の注入効果は得られなかつたが、一応の目的は達せられたものと思う。(1) 薬液有効固結量の多い経済的なものは、1注入孔については、エスロック、ユリロックであり、6注入孔については日東SS-30、サンソルトなどである。(2) 固結所要位置より有効なものは、日東SS-30、スピソイル、サンソルトである。(3) 地盤支持力増加より有効なものは、ユリロック、エスロック、サンソルトである。(4) 止水性より有効なものは、スピソイル、サンソルト、サンソルトである。(5) 地盤に対する浸透性が低いと思われるL.W.セメントフライッシュは、この場合より有効な固結が困難であった。

薬液注入実際では、薬液の適性およびその他の性質を把握し、現場の施工目的、条件により最適な薬液を選択して施工を行ふことが望ましい。

終りに臨み、種々の便宜を供された大阪市交通局高速鉄道建設本部第5建設事務所、現場を提供された三井建設K.K.、施工に協力および実施された間組K.K.、藤田組K.K.、日本基礎工業K.K.、東洋高压工業K.K.、積水化学工業K.K.、日東化学K.K.、山陽パルプK.K.、三洋化成K.K.、住友化学工業K.K.に深甚なる感謝の意を表します。

表-1. 現場透水係数

薬液	1回					2回					3回					4回					薬液固結量	
	透水係数 cm/sec	深度 m	透水係数 cm/sec	深度 m	透水係数 cm/sec	深度 m	透水係数 cm/sec	深度 m	区間透水係数	固結土量 t/m ³												
L. W.	8.8×10^{-5}	5.2	1.0×10^{-6}	7.0	2.1×10^{-4}	8.3	—	—	—	—	—	—	—	—	—	—	—	—	—			
ユリロック	現場実況 注入深度 不能	5.0	1.4×10^{-4}	6.4	9×10^{-5}	8.3	—	—	—	—	—	—	—	—	—	—	—	—	—			
エスロック	8.2×10^{-5}	5.2	1.1×10^{-4}	7.0	3.8×10^{-5}	8.1	—	—	—	—	—	—	—	—	—	—	—	—	—			
日東SS	2.9×10^{-6}	4.5	5.6×10^{-5}	5.1	4.7×10^{-5}	6.8	9.3×10^{-5}	9.5	—	—	—	—	—	—	—	—	—	—	$2.7 \sim 5.6 \times 10^{-5}$			
サンソルト	1.7×10^{-7}	5	1.8×10^{-6}	6	1.1×10^{-6}	7	1.1×10^{-6}	8	1.1×10^{-6}	9	8.4×10^{-5}	10	$1.4 \times 2.1 \times 10^{-4}$	—	—	—	—	—	$1.1 \sim 1.8 \times 10^{-4}$			
スピソイル	2.6×10^{-6}	5	5.5×10^{-5}	6	2.6×10^{-5}	7	1.6×10^{-5}	8	1.6×10^{-5}	9	3.8×10^{-4}	10	$2.6 \sim 5.4 \times 10^{-4}$	—	—	—	—	—	—			
セメントフライッシュ	—	5	—	—	—	—	—	—	—	—	—	—	—	—	—	—	—	—	—			

表-2. 室内透水試験結果

表-3. 薬液固結量

薬液	透水係数 cm/sec	注入量 (L)	固結土量 (t)
L. W.	1.9×10^{-6}	1600	—
ユリロック	1.4×10^{-4}	3000	1883
エスロック	1.7×10^{-5}	2000	1581
日東SS-30	1.8×10^{-4}	4964	2906
サンソルト	2.9×10^{-7}	4520	2517
スピソイル	4.2×10^{-6}	4320	1533
セメントフライッシュ	6.4×10^{-5}	8210	1905
セメントフライッシュ	—	3700	—